

Г. В. Ткаченко, Б. А. Урюков

Институт проблем материаловедения НАНУ, Киев, Украина

МОДЕЛЬ ТУРБУЛЕНТНОЙ ЕСТЕСТВЕННОЙ КОНВЕКЦИИ ОКОЛО ВЕРТИКАЛЬНОЙ СТЕНКИ НА ОСНОВЕ ГИПОТЕЗЫ С.С. КУТАТЕЛАДЗЕ

АННОТАЦИЯ

Модель турбулентного режима в естественно-конвективном пограничном слое основана на гипотезе С.С. Кутателадзе о «критерии устойчивости» ламинарного подслоя в турбулентном естественно-конвективном пограничном слое, а также на обобщении экспериментальных данных о распределении скорости и температуры в пределах турбулентного ядра пограничного слоя. Схема модели аналогична двухслойной модели Прандтля в вынужденном течении. В ламинарном подслое имеют место линейное распределение температуры и квадратичное распределение скорости, а в турбулентном ядре — экспоненциальные распределения. Эмпирические постоянные получены из сопоставления формулы для числа Нуссельта с известными теоретическими и экспериментальными данными. Показано, что расход жидкости в пограничном слое пропорционален числу Нуссельта.

1. ВВЕДЕНИЕ

В последнее время наметилось усиление интереса к задачам естественной конвекции, что связано с проблемами краткосрочного и длительного хранения дорогостоящих и опасных жидких веществ. К ним можно отнести топливо в баках ракетополетов, находящиеся под воздействием внешней среды, жидкие радиоактивные тепловыделяющие материалы и др. Благодаря естественно-конвективным потокам на стенках температура хранимых материалов выравнивается по объему. Скорость этого процесса всецело определяется закономерностями и характеристиками конвективных потоков. Большие габаритные размеры хранилищ, измеряемые метрами, обуславливают переход течения в конвективном пограничном слое от ламинарного к турбулентному. При решении таких задач возникают, по крайней мере, две проблемы. Первая состоит в том, что до сих пор отсутствует достаточно надежная и в то же время достаточно простая для использования в инженерных расчетах теория турбулентного режима естественной конвекции. Известная теория Эккерта-Джексона [1], разработанная в середине прошлого века, критиковалась многими исследователями, как теоретиками, так и экспериментаторами, но за прошедшее время в этом направлении сделано было мало. Заслуживают внимания две работы. Одна из них — это численный расчет Ното и Матсумото [2], который, однако, труден для использования, поскольку конкретный расчет сделан только для числа Грасгофа, равного 10^{10} . Полученные результаты полезны для анализа поведения числа Нуссельта с изменением числа Прандтля. Работа Зайчика и Алипченкова [3] основана на решении системы

уравнений для вторых моментов пульсаций скорости и температуры в пристенной турбулентной области для очень больших чисел Ричардсона. В этом случае удалось получить аналитическое выражение для числа Нуссельта.

Вторая проблема заключается в том, что для расчета процесса выравнивания температуры жидкости в баках-хранилищах при заданном тепловом потоке через стенки достаточно знать лишь расход жидкости в пограничном слое. Несомненно, он зависит от числа Нуссельта, но выяснением этой зависимости ни теоретически, ни экспериментально никто специально не занимался.

В данной работе предлагается модель турбулентного режима в естественно-конвективном пограничном слое, основанная на гипотезе С.С. Кутателадзе о «критерии устойчивости» ламинарного подслоя в турбулентном естественно-конвективном пограничном слое и на обобщении экспериментальных данных Чизрайта о распределении скорости и температуры в пределах турбулентного ядра пограничного слоя.

2. СТРУКТУРА ЛАМИНАРНОГО ПОДСЛОЯ И ТУРБУЛЕНТНОГО ЯДРА

Классическая схема вывода формулы Блазиуса для коэффициента трения на плоской пластине в безграничном потоке жидкости заключается в следующем. Принимается, что в турбулентном ядре пограничного слоя скорость изменяется по известному «закону $1/7$ -й». В пределах ламинарного подслоя скорость изменяется линейно. Граница ламинарного подслоя y_1 в двухслойной модели Прандтля определяется «критерием устойчивости» [4] $v_* y_1 / \nu = A_1 = \text{const}$, где v_* — «скорость трения». Координата y_1 находится путем определения точки пересечения двух профилей, а подстановка в формулу для y_1 позволяет получить формулу Блазиуса.

Точно так же, зная обобщенный закон распределения температуры и скорости в турбулентном ядре свободноконвективного пограничного слоя и «критерий устойчивости» ламинарного подслоя, можно получить формулы как для коэффициента трения, так и для числа Нуссельта.

На рис. 1 приведены результаты обработки экспериментальных данных Чизрайта [5] о распределении скорости и температуры в пределах турбулентного пограничного слоя в условиях естественной конвекции воздуха около нагреваемой вертикальной поверхности, где

$$Z = \frac{\bar{u}}{\eta'}; \quad \theta = \frac{T - T_a}{T_w - T_a}; \quad \eta' = \frac{y}{x} \text{Gr}_x^{0.1};$$

$$\bar{u} = \frac{u}{u_*}; \quad u_* = \sqrt{g\beta(T_w - T_a)x}.$$

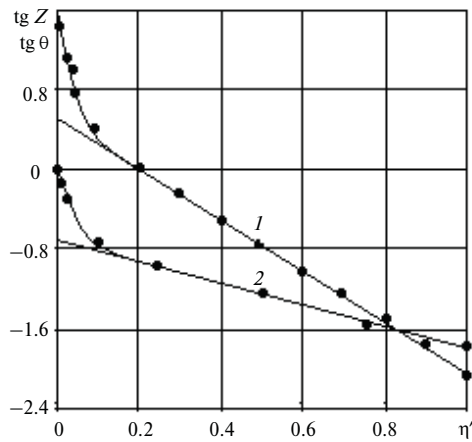


Рис. 1. Логарифмическое представление профилей скорости (1) и температуры (2) в турбулентном пограничном слое: точки — экспериментальные данные Чизрайта

Видно, что в пределах большей части пограничного слоя профили скорости и температуры можно аппроксимировать формулами вида:

$$\frac{u}{U} = f(\eta) = \eta \exp(-\eta);$$

$$\frac{T - T_a}{T_w - T_a} = \theta(\eta_T) = \theta_* \exp(-\eta_T),$$

где $\eta = y/\delta$; $\eta_T = y/\delta_T$; U — неизвестный заранее параметр, имеющий размерность скорости; θ_* — эмпирический коэффициент.

Вид пристенной части профилей резко отличается от остальной.

Для определения размеров скоростного и температурного ламинарных подслоев воспользуемся гипотезой, высказанной С.С. Кутателадзе [6] о том, что существует «критерий устойчивости» ламинарного подслоя:

$$\text{Re}_m \sqrt{\text{Pr}} = \frac{u_m y_T}{\nu} \sqrt{\text{Pr}} = A_m \approx 200. \quad (2)$$

Представим распределение скорости и температуры вблизи стенки в виде рядов по y :

$$u = \sum_{i=1}^{\infty} a_i y^i; \quad \frac{T - T_a}{T_w - T_a} = 1 + \sum_{i=1}^{\infty} b_i y^i$$

и подставим их в уравнения естественной конвекции, учитывая турбулентный перенос импульса и тепла в прандтлевской форме:

$$u \frac{\partial u}{\partial x} + v \frac{\partial u}{\partial y} = g\beta(T - T_a) + \frac{\partial}{\partial y} \left[(v + v_t) \frac{\partial u}{\partial y} \right];$$

$$u \frac{\partial T}{\partial x} + v \frac{\partial T}{\partial y} = \frac{\partial}{\partial y} \left[\left(\frac{\nu}{\text{Pr}} + \frac{\nu_t}{\text{Pr}_t} \right) \frac{\partial T}{\partial y} \right];$$

$$\frac{\partial u}{\partial x} + \frac{\partial v}{\partial y} = 0;$$

$$v_t = k^2 y^2 \left| \frac{\partial u}{\partial y} \right|.$$

Приравнявая коэффициенты при y в одинаковых степенях, получим для y^0 и y^1 из уравнения движения

$$a_2 = -\frac{g\beta(T_w - T_a)}{2\nu},$$

$$a_3 = -\frac{g\beta(T_w - T_a)}{6\nu} b_1 - \frac{k^2}{3\nu} a_1^2$$

и из уравнения теплопроводности

$$b_2 = 0, \quad b_3 = -\frac{k^2}{3a \text{Pr}_t} a_1 b_1.$$

Видно, что область молекулярного переноса описывается двумя первыми членами, поскольку коэффициенты при y^3 уже «чувствуют» влияние турбулентности. Таким образом, как и указывал С.С. Кутателадзе, в ламинарном подслое нарушается линейный закон распределения скорости, который характерен для вынужденной конвекции, но температура распределена линейно.

Поскольку $a_1 = (\partial u / \partial y)_w$, $b_1 = (\partial \theta / \partial y)_w$, то

$$u = \frac{\tau_w}{\mu} y - \frac{g\beta(T_w - T_a)}{2\nu} y^2, \quad (3)$$

$$\theta = \frac{T - T_a}{T_w - T_a} = 1 + \frac{q_w}{\lambda(T_w - T_a)} y.$$

Вне ламинарного подслоя профили скорости и температуры аппроксимируются выражениями (1). На рис. 2, где данные рис. 1 построены в исходной форме, сопоставлены полные профили и профили в турбулентном ядре.

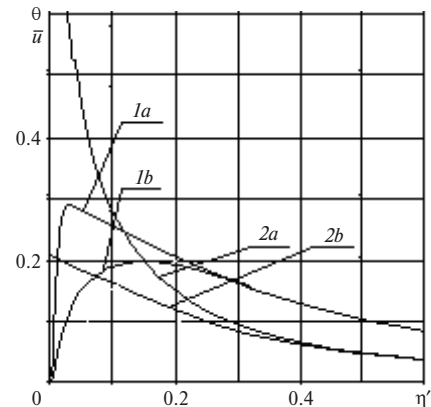


Рис. 2. Распределения скорости (1a) и температуры (2a) во всем пограничном слое и те же профили в турбулентном ядре (1b, 2b), продленные до стенки

Далее, также следуя гипотезе Кутателадзе, положим, что граница динамического ламинарного подслоя находится в точке максимума скорости (v_m , u_m), т.е.

$$y_m = \frac{\nu}{g\beta(T_w - T_a)} \frac{\tau_w}{\mu},$$

$$u_m = \frac{2\nu}{g\beta(T_w - T_a)} \left(\frac{\tau_w}{\mu} \right)^2. \quad (4)$$

3. ПАРАМЕТРЫ ТУРБУЛЕНТНОЙ ЕСТЕСТВЕННОЙ КОНВЕКЦИИ

Полученные результаты позволяют найти безразмерные параметры естественной конвекции, такие как коэффициент трения, число Нуссельта и расход жидкости в пограничном слое.

Так, подставив (4) в (2), получим выражение для коэффициента трения

$$\frac{cf}{2} = \frac{\tau_w}{\rho u_*^2} = \frac{y_m}{x} = \alpha Gr_x^{-1/3}, \quad \alpha = \left(\frac{2A_m}{\sqrt{Pr}} \right)^{1/3}. \quad (5)$$

Следуя той же гипотезе, естественно считать, что существует граница теплового ламинарного подслоя y_{mT} , на которой линейный «ламинарный» профиль температуры пересекается с экспоненциальным «турбулентным» профилем. Взаиморасположение границ динамического и теплового ламинарных подслоев в условиях вынужденной конвекции зависит от отношения молекулярного числа Прандтля к турбулентному [7]: $\sigma = Pr/Pr_t$; при $\sigma > 1$ $y_{mT} < y_m$ и наоборот. То же самое возможно и в условиях естественной конвекции, поэтому введем отношение $\Delta_m = y_{mT}/y_m$. В результате из (1) и (3) находим выражение для числа Нуссельта:

$$Nu_x = \frac{1 - \theta_* \exp\left(-\frac{cf}{2} \frac{\Delta_m}{\bar{\delta} \Delta}\right)}{(cf/2) \Delta_m}, \quad (6)$$

где $\Delta = \delta_T/\delta$ — отношение толщин теплового и динамического пограничных слоев; $\bar{\delta} = \delta/x$.

Безразмерная функция расхода жидкости в пограничном слое на нагреваемой боковой стенке, определяется как

$$\bar{G}_1 = \frac{1}{v} \int_0^\infty u dy = k_1 \bar{U} \bar{\delta}; \quad k_1 = \int_0^\infty f(\eta) d\eta,$$

где $\bar{U} = Ux/v$.

Для нахождения функций $\bar{\delta}(Gr_x)$ и $\bar{U}(Gr_x)$ служат уравнения естественной конвекции, записанные в интегральной форме:

$$\frac{d}{dx} \int_0^\infty u^2 dy = g\beta \int_0^\infty (T - T_a) dy - v \left(\frac{\partial u}{\partial y} \right)_w; \quad (7)$$

$$\frac{d}{dx} \int_0^\infty u(T - T_a) dy = -a \left(\frac{\partial T}{\partial y} \right)_w. \quad (8)$$

В том случае, когда условием теплоподвода служит постоянство температуры нагреваемой поверхности, в качестве независимой переменной удобно взять число Грасгофа $\xi = Gr_x$, определенное через координату x .

Запишем уравнения (7), (8) в безразмерном виде:

$$3\xi^{1/3} \frac{d}{d\xi} \left(\frac{k_{11}}{\xi^{1/3}} \bar{U}^2 \bar{\delta} \right) = k_2 \bar{\delta} \Delta - \frac{cf}{2}; \quad (9)$$

$$3\xi^{1/2} \frac{d}{d\xi} [k_{12} \bar{U} \bar{\delta} (T_w - T_a)] = St(T_w - T_a), \quad (10)$$

$$\text{где } k_{11} = \int_0^\infty f^2(\eta) d\eta; \quad k_2 = \int_0^\infty \theta(\eta_T) d\eta_T; \quad k_{12} = \int_0^\infty f(\eta) \theta(\eta_T) d\eta.$$

Параметры k_i представляют собой интегралы от безразмерных профилей скорости и температуры. Использование профилей (1) для расчета этих интегралов занижают их реальные значения, что видно из рис. 2. Поэтому снабдим профили (1) коэффициентами C_u для скорости и C_t для температуры, значения которых определяются из условия наилучшего согласования с эталонными данными. Считаем, что все параметры k_i постоянны. Правая часть уравнения (10) выражается через число Нуссельта (6) в соответствии с формулой: $Nu_x = St Pr Gr_x^{1/2}$. Для того чтобы иметь простые расчетные формулы, найдем приближенное решение этих уравнений в виде степенных зависимостей с коэффициентами, зависящими от x . Для случая изотермической стенки положим $\bar{U} = U_0 \xi^{1/2}$, $\bar{\delta} = \delta_0 \xi^{-1/6}$. Этим зависимостям удовлетворяет уравнение (10) при достаточно больших значениях числа Грасгофа. При дифференцировании коэффициенты U_0 и δ_0 считаем постоянными (аналогичное допущение было сделано в работе [2]). В результате находим:

$$\frac{3}{2} k_{11} U_0^2 \delta_0 = k_2 \delta_0 \Delta - \alpha \xi^{-1/6};$$

$$U_0 \delta_0 = \frac{\Phi}{k_{12} \alpha Pr \Delta_m};$$

$$\Phi = 1 - \theta_* \exp\left(-\frac{\alpha \Delta_m \xi^{-1/6}}{\Delta \delta_0}\right).$$

Исключая U_0 , получаем

$$X^2 - \frac{\xi^{-1/6}}{k_2 \Delta_m} X = \frac{3}{2} \frac{k_{11} \Delta}{k_2} \left(\frac{\Phi}{k_{12} Pr \alpha^2 \Delta_m^2} \right)^2, \quad (11)$$

где $X = \Delta \delta_0 / \alpha \Delta_m$. Отношение динамического и теплового турбулентных слоев имеет порядок $Pr_t^{1/2}$, поэтому, считая $Pr_t \approx 1$, можно принять $\Delta \approx 1$. В результате интегралы от профилей будут такими: $k_1 = C_u$; $k_2 = C_t$; $k_{11} = C_u^2/4$; $k_{12} = C_u C_t/4$. Параметр Δ_T зависит от числа Прандтля в форме: $\Delta_T = Pr^{-1/n}$, где n — степень зависимости турбулентной вязкости от y вблизи стенки [7], которая изменяется в пределах $n = 2 \div 4$. Подбор значений коэффициентов C_u , C_t , θ_* и показателя n , которые можно рассматривать как эмпирические постоянные, производился таким образом, чтобы результирующее выражение для числа Нуссельта наиболее близко соответствовало известным теоретическим и экспериментальным данным в районе $Pr \sim 1$. Использовались теоретические работы [2, 3] и экспериментальная формула, приведенная в монографии [8]:

$$Nu = 0.10 Ra^{1/3}. \quad (12)$$

В результате проведенного цикла расчетов и сопоставления с указанными данными было получено, что наиболее приемлемыми значениями являются: $C_t = 2.22$; $\theta_* = 1$, $n = 4$. Коэффициент C_u определен из расчета отношения интегралов скоростей, показанных на рис. 2 (кривые *1a* и *1b*), и равен 1.20.

Результаты расчета и сопоставление с литературными данными показаны на рис. 3, который аналогичен рис. 1 работы [3]. Экспериментальные точки заимствованы из того же рисунка.

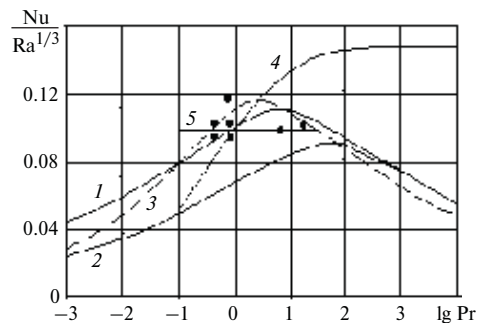


Рис. 3. Сопоставление моделей турбулентного свободноконвективного пограничного слоя: 1, 2 — данная модель при $Gr_x = 10^{10}$ и 10^{14} ; пунктирная линия 3 — [2] при $Gr_x = 10^{10}$; 4 — [3]; 5 — экспериментальная формула (12); точки — экспериментальные данные из работы [3]

Видно, что в диапазоне чисел Прандтля, охваченном экспериментами ($0,3 < Pr < 20$), наблюдается хорошая сходимость всех расчетов. Следует лишь отметить, что модель данной работы более близка к [2], чем к [3], особенно в крайних диапазонах числа Прандтля.

Анализ результатов расчета по данной модели показывает, что зависимость числа Нуссельта от числа Грасгофа в диапазоне $10^9 \leq Gr_x \leq 10^{14}$ с максимальной погрешностью $\sim 3\%$ можно аппроксимировать степенной зависимостью вида

$$Nu_x = C Gr_x^m, \quad (13)$$

в которой показатель m и коэффициент C являются функциями только числа Прандтля (рис. 4). При больших числах Прандтля $m \approx 1/3$, а при $Pr \rightarrow 0$ m стремится к $1/4$, т.е. к «ламинарному» значению, что совпадает с исследованием Бейли, указанным в [8].

Проведен анализ того, насколько сильно степенное решение (13) отличается от численного решения исходной системы уравнений (9), (10). Он показал, во-первых, что эта система не имеет физически достоверного решения при $\xi \rightarrow 0$. Во-вторых, вариация начальных условий, задаваемых на некотором конечном расстоянии от начала, слабо влияет на решение: оно быстро приходит к общему, определяемому начальными условиями, рассчитанными по

формуле (13). В свою очередь, это численное решение достаточно мало отличается от степенного.

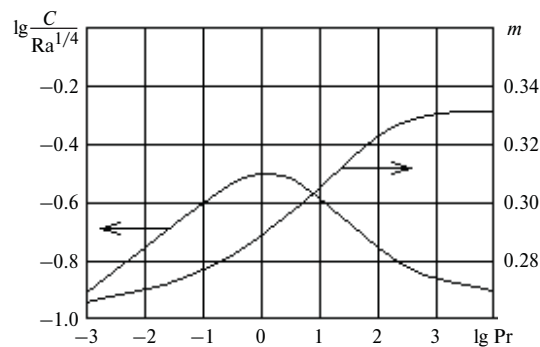


Рис. 4. Зависимости показателя m и коэффициента C от числа Прандтля

Еще один результат данной работы заключается в том, что из сопоставления полученных соотношений получается формула для расхода жидкости в пограничном слое:

$$\bar{G}_1 = \frac{k_1}{k_{12} Pr} Nu_x = \frac{1.8}{Pr} Nu_x. \quad (14)$$

СПИСОК ОБОЗНАЧЕНИЙ

T_w, T_a — температура на стенке и вдали от нее;
 δ, δ_T — характерные толщины динамического и теплового пограничных слоев.

СПИСОК ЛИТЕРАТУРЫ

1. Eckert E.R., Jackson T.W. Analysis of Turbulent Free Convection Boundary Layer of Flat Plate //NACA Rep. 1951. No 1015.
2. Ното, Мацумото. Турбулентный перенос тепла при свободной конвекции вдоль изотермической вертикальной плоской поверхности // Труды Амер. об-ва инж.-мех. Сер. С. 1975. No 4. P. 139—141.
3. Зайчик Л.И., Алипченков В.М. Свободноконвективный турбулентный теплообмен при больших числах Рэлея на наклонной поверхности // РНКТ2. М., 1998. Т. 3. С. 72—75.
4. Теплообмен и трение в турбулентном пограничном слое / Под ред. С.С. Кутателадзе. СОАН СССР, Институт теплофизики, 1964. 207 с.
5. Чизрайт. Естественная турбулентная конвекция от вертикальной плоской поверхности. // Труды Амер. о-ва инж.-мех. Сер. С. 1968. No 1. С. 1—9.
6. Кутателадзе С.С. Пристенная турбулентность. Новосибирск: Наука, 1973. 228с.
7. Урюков Б.А. Теплопередача в турбулентном пограничном слое жидкости // ПМТФ. 1960. № 3. С. 119—125.
8. Джалурия Й. Естественная конвекция. Тепло- и массообмен. М.: Мир, 1983. 360 с.